

AXIÁLNÍ SKELET

DLE I.E.KAPANDJI

FUNKCE

OCHRANA NERVOVÝCH STRUKTUR

OPĚRNÁ FUNKCE

URČENÍ SMĚRU A ROZSAHU POHYBU

PROPRIOCEPTIVNÍ

OPĚRNÁ FUNKCE

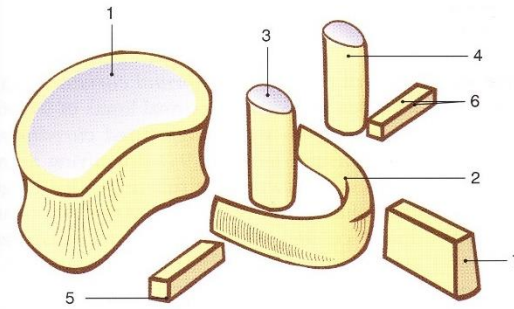


Figure 9

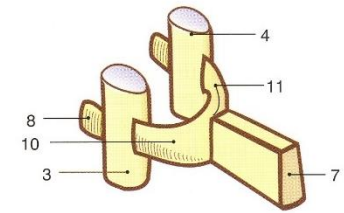


Figure 11

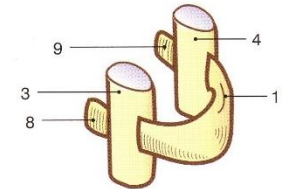


Figure 10

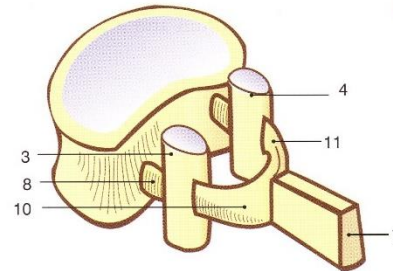


Figure 12

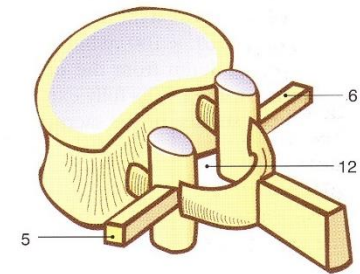
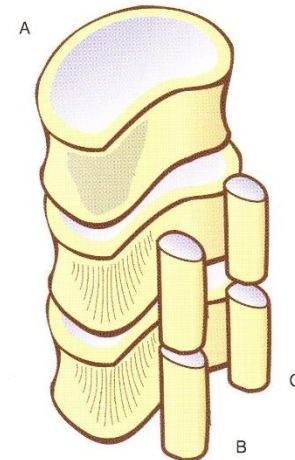
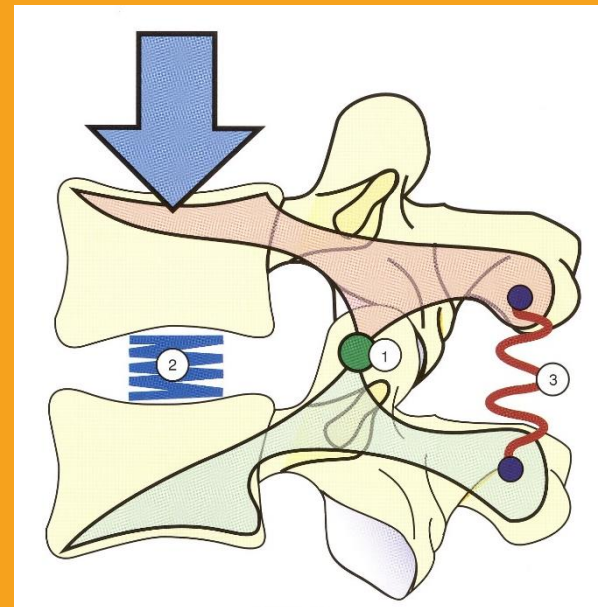
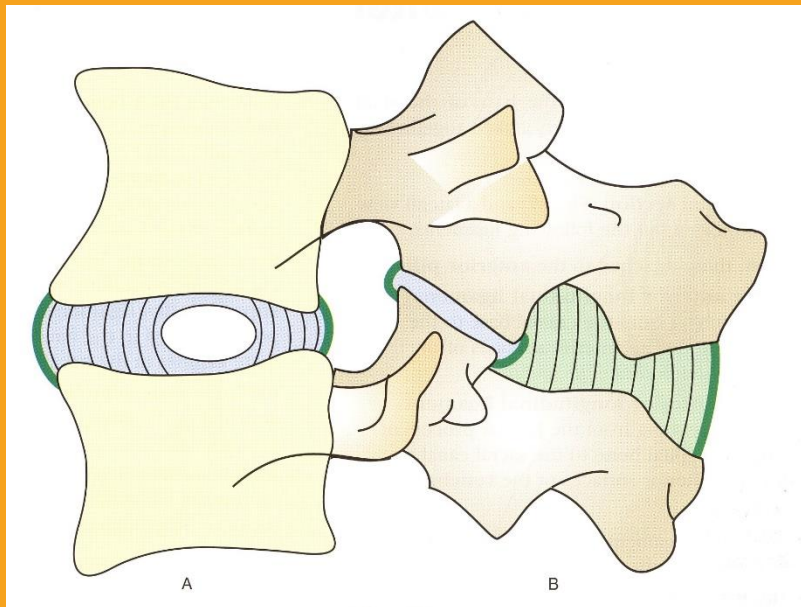


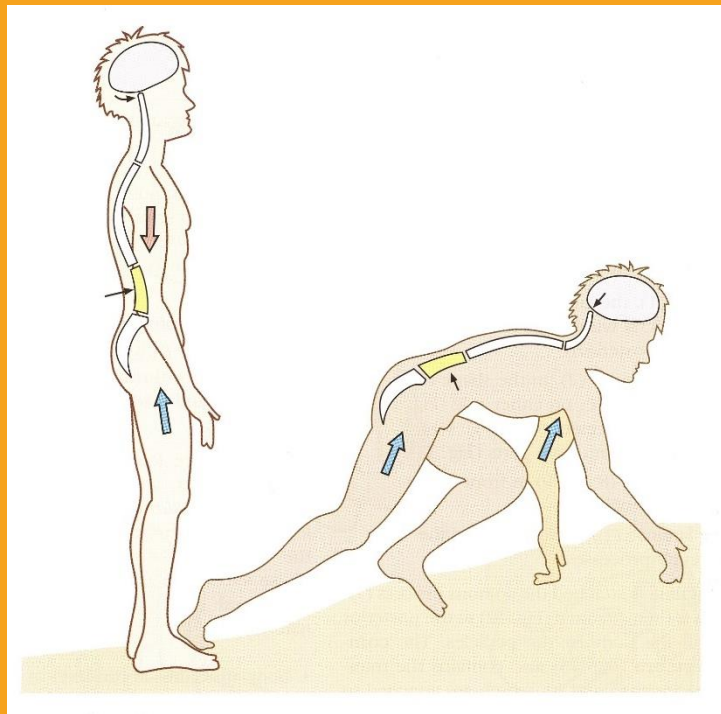
Figure 13



MECHANICKÁ FUNKCE SEGMENT. KOMPONENT



SAGITÁLNÍ ZAKŘIVENÍ



SAGITÁLNÍ ZAKŘIVENÍ

Figure 7

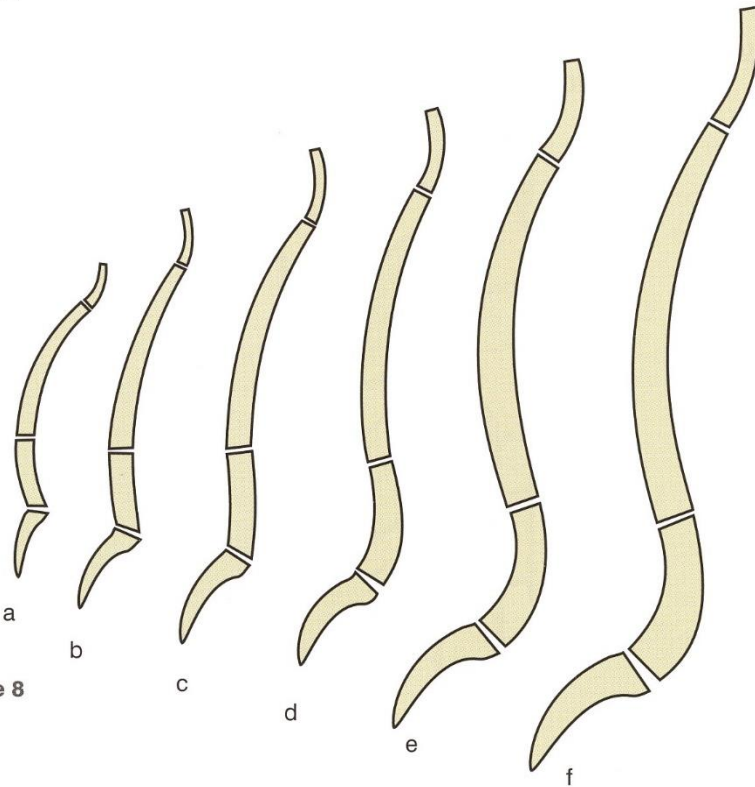


Figure 8

- a) 0 days
- b) 5 months
- c) 13 months
- d) 3 years
- e) 8 years
- f) 10 years

ANIZOTROPIE

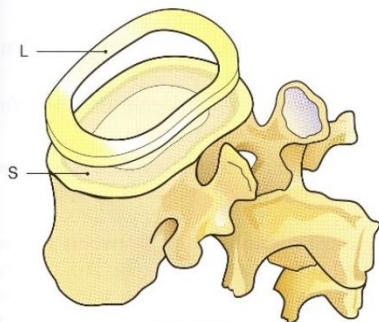


Figure 17

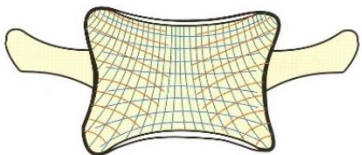


Figure 18

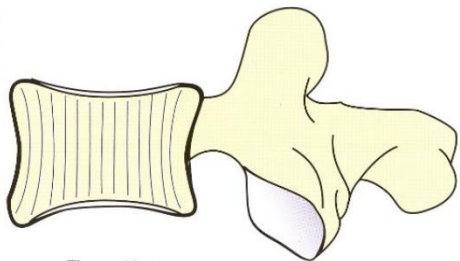


Figure 19

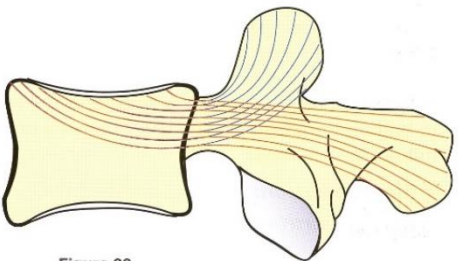


Figure 20

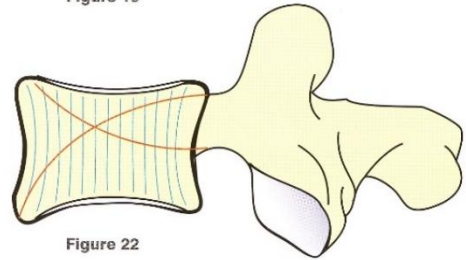


Figure 22

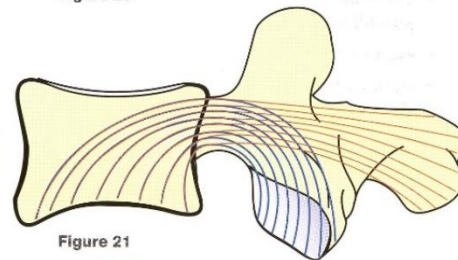


Figure 21

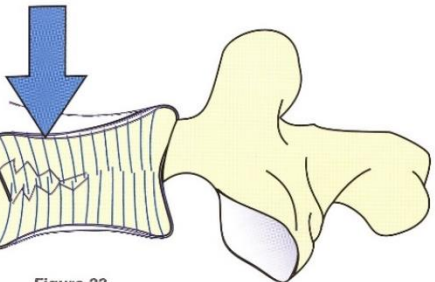


Figure 23

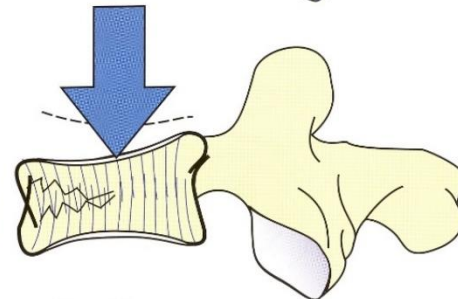
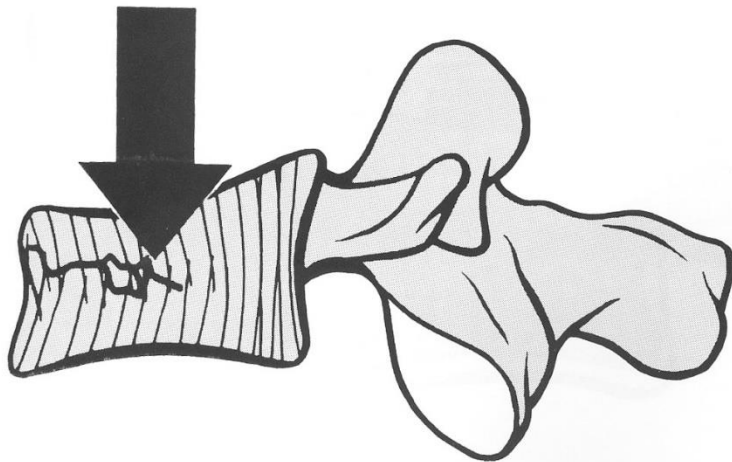


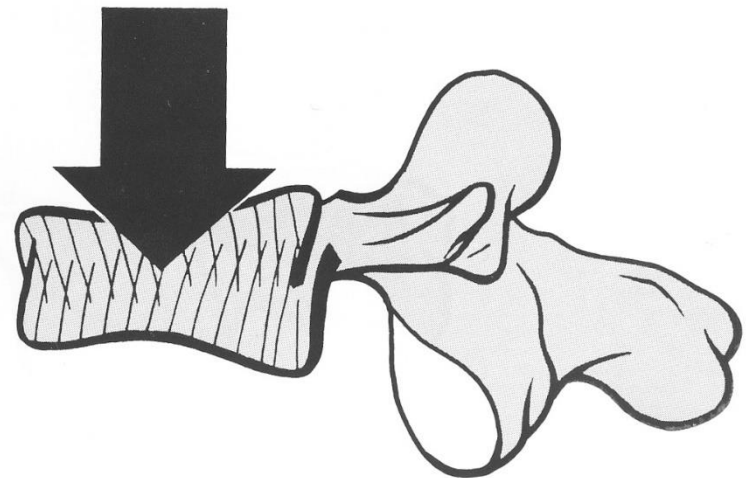
Figure 24

KRITICKÉ HODNOTY

6000 N



8000 N



PASIVNÍ STABILITA SEGMENTU

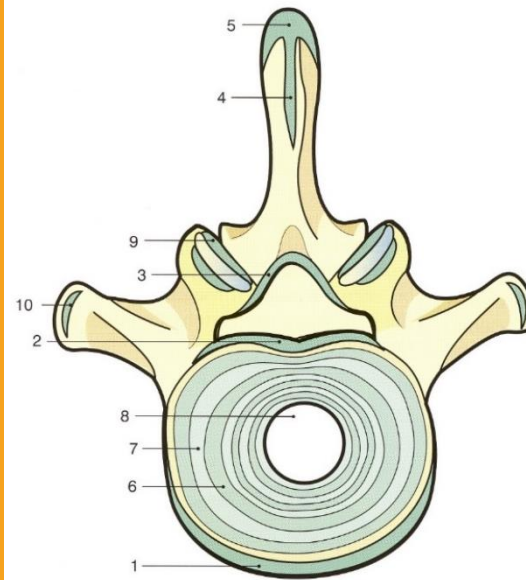


Figure 27

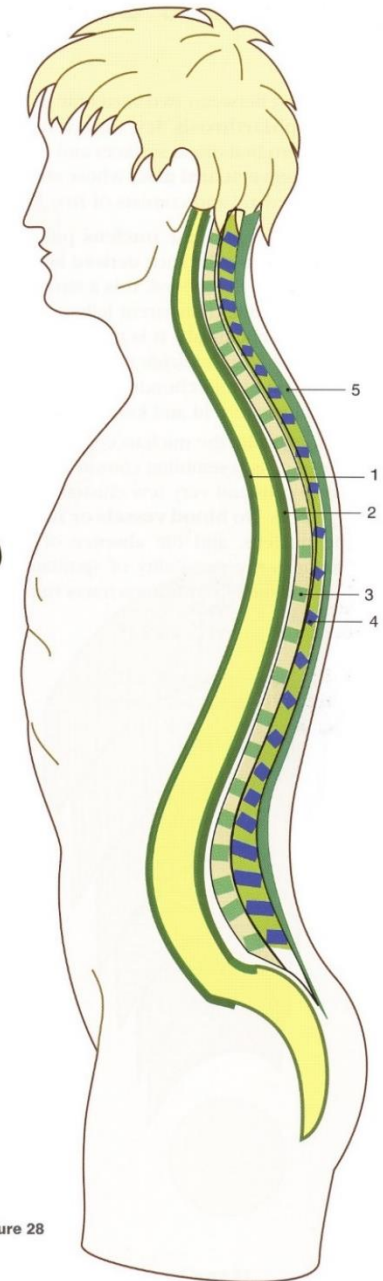
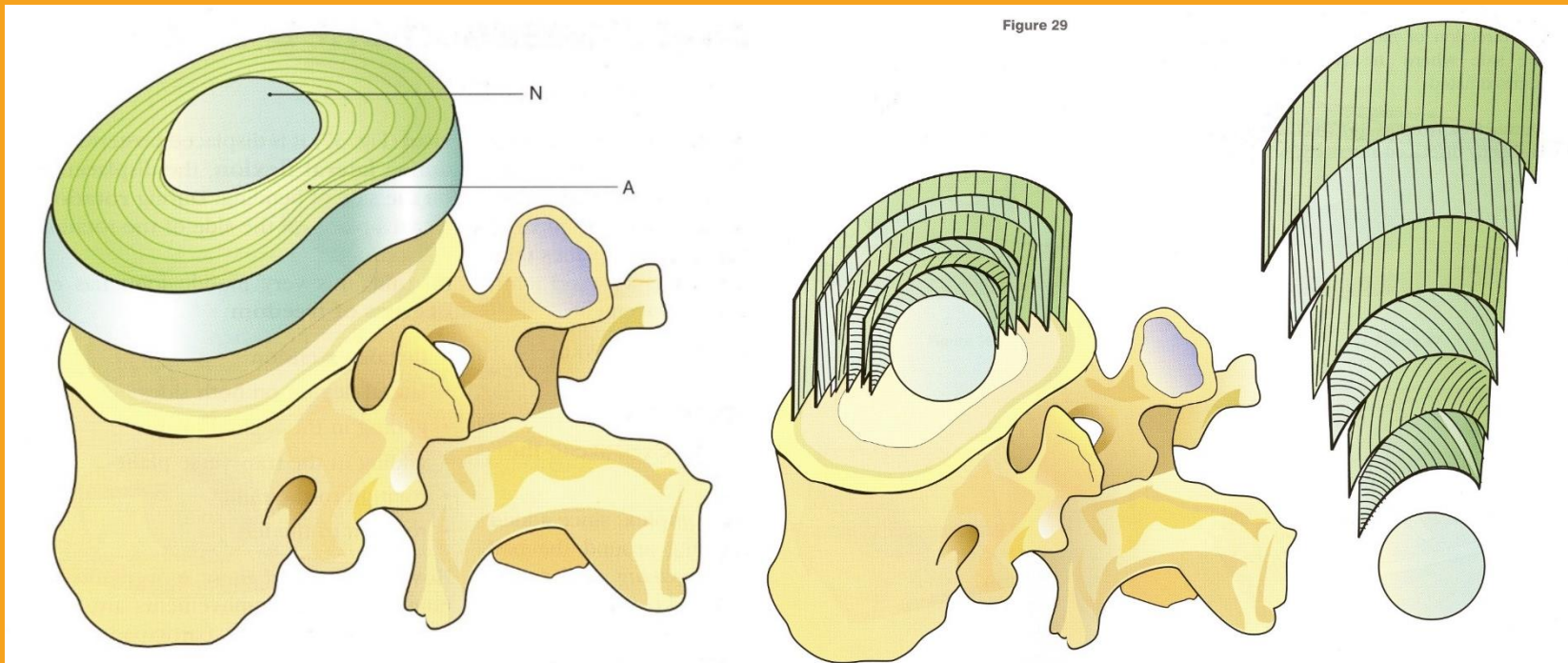


Figure 28

INTERVERTEBR. DISK



DEFORMACE N.P.

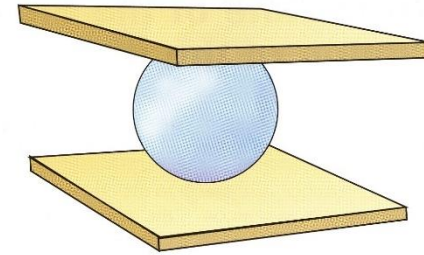


Figure 32

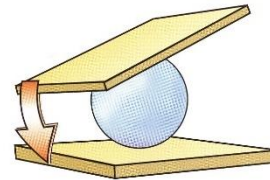


Figure 33

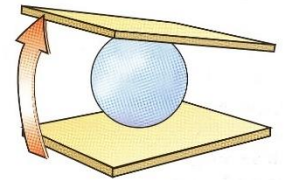


Figure 34

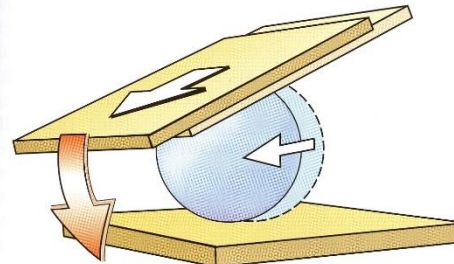


Figure 36

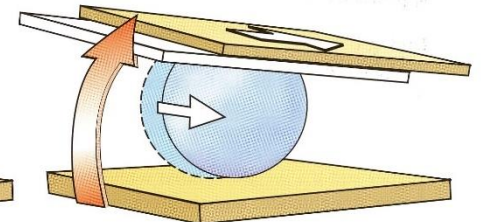


Figure 37

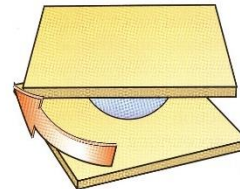


Figure 35

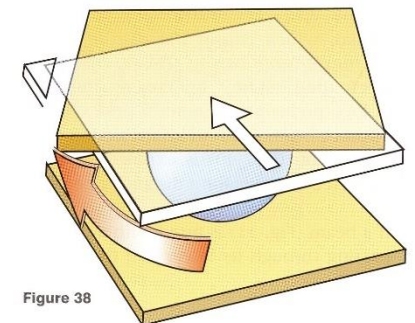
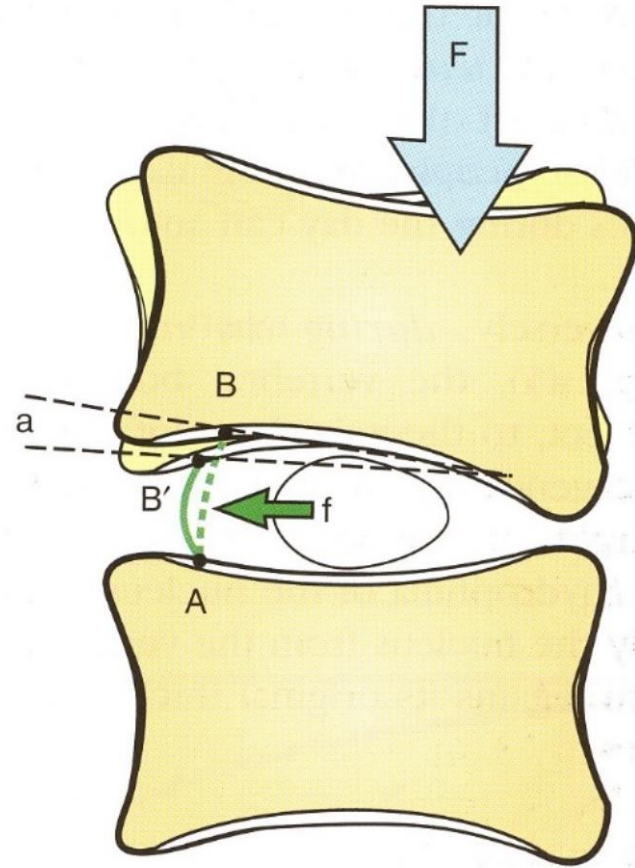
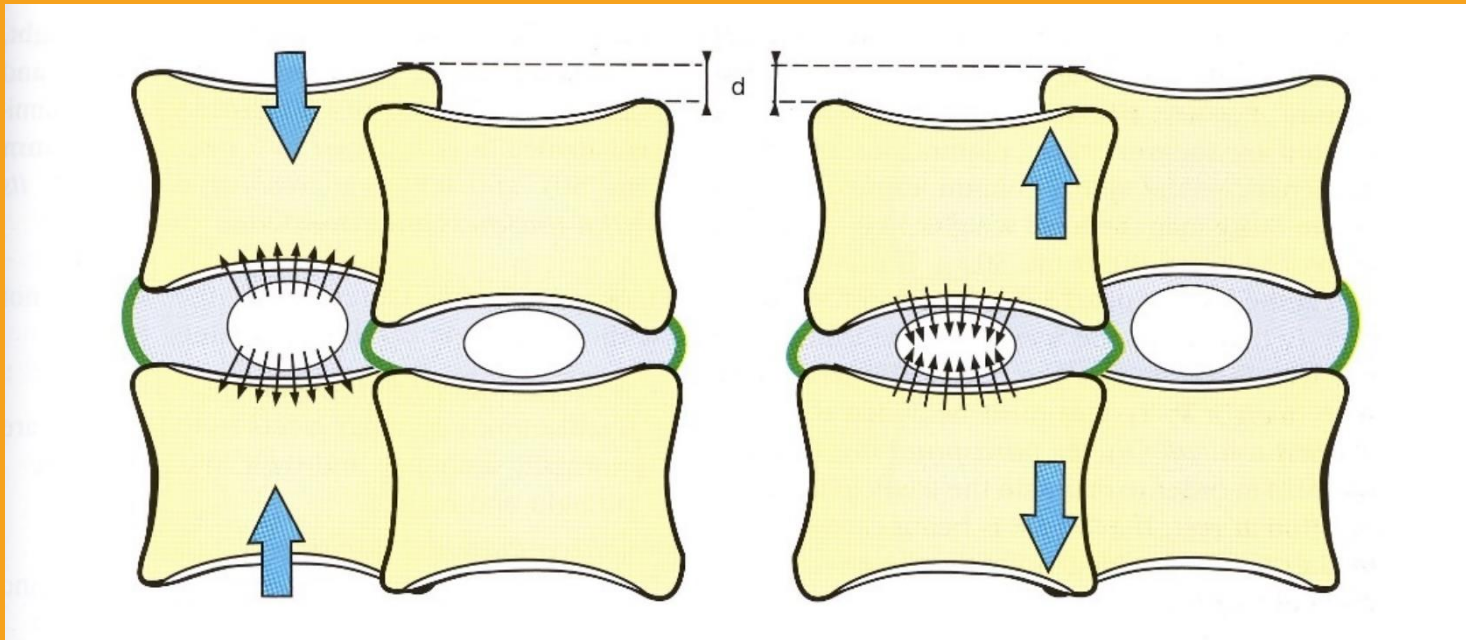


Figure 38

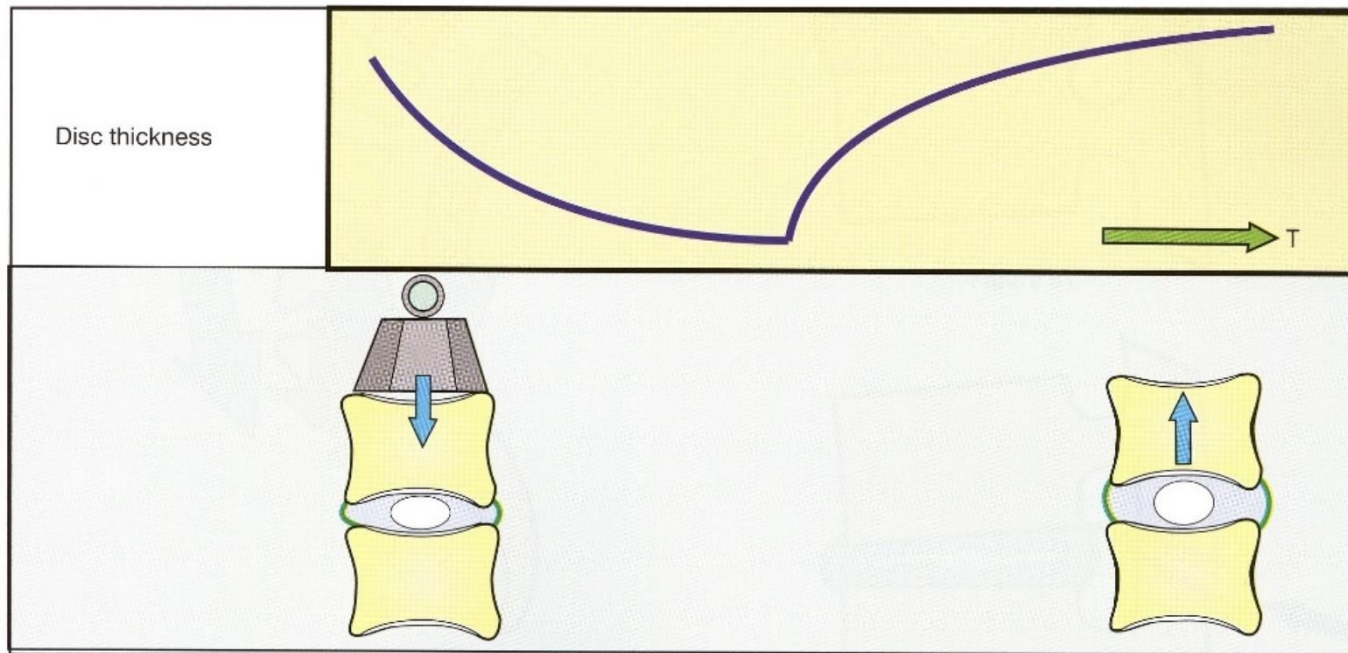
STABILIZAČNÍ MECHANIZMUS INTERVERTEBR. DISKU



HYDRATACE



HYDRATACE



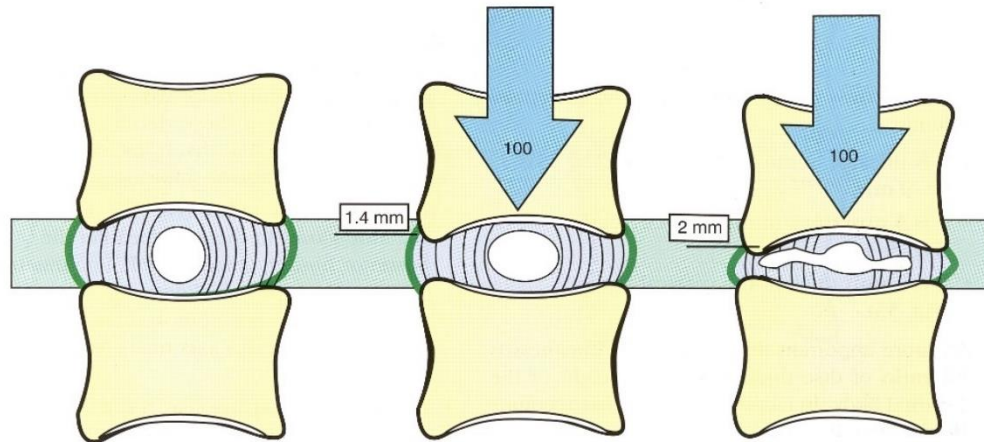


Figure 48

Figure 49

Figure 50

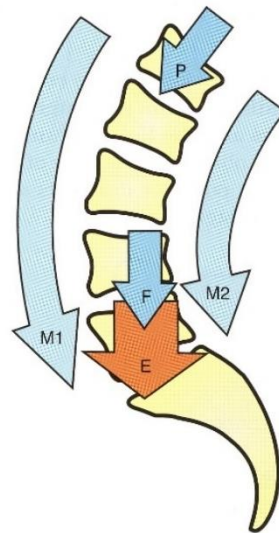


Figure 47

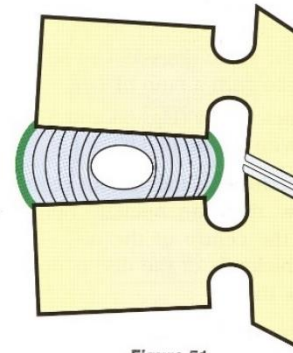


Figure 51

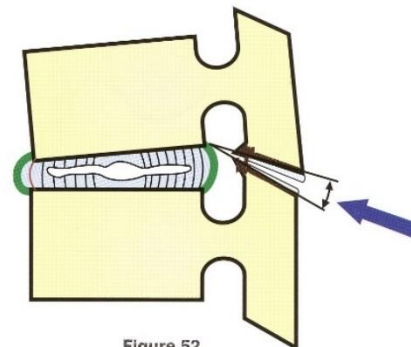
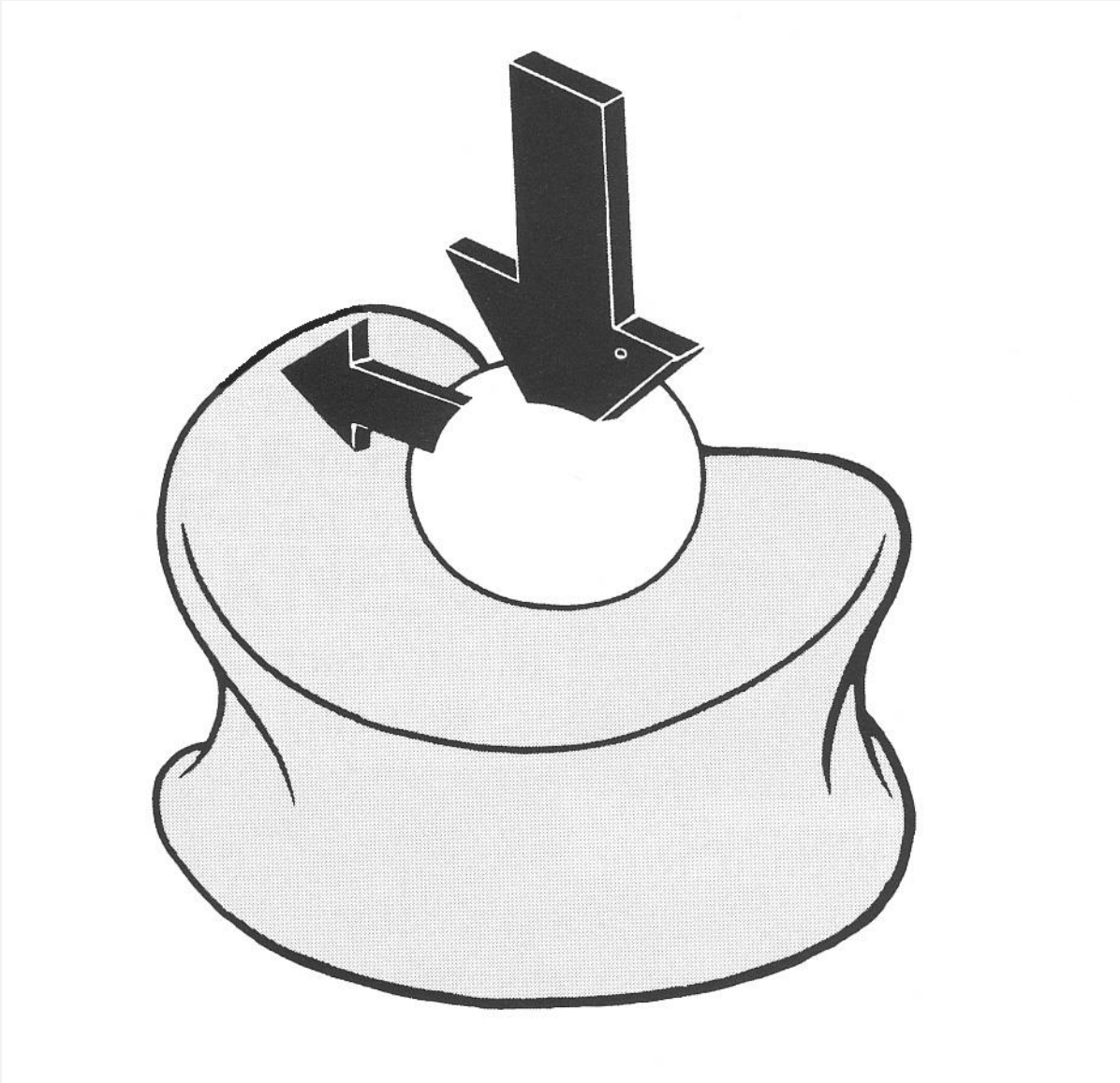


Figure 52

Axial pressure loading A/N = 1/3



L5-S1
(axial
loading)

- 280 N
- 16 kg.cm⁻²

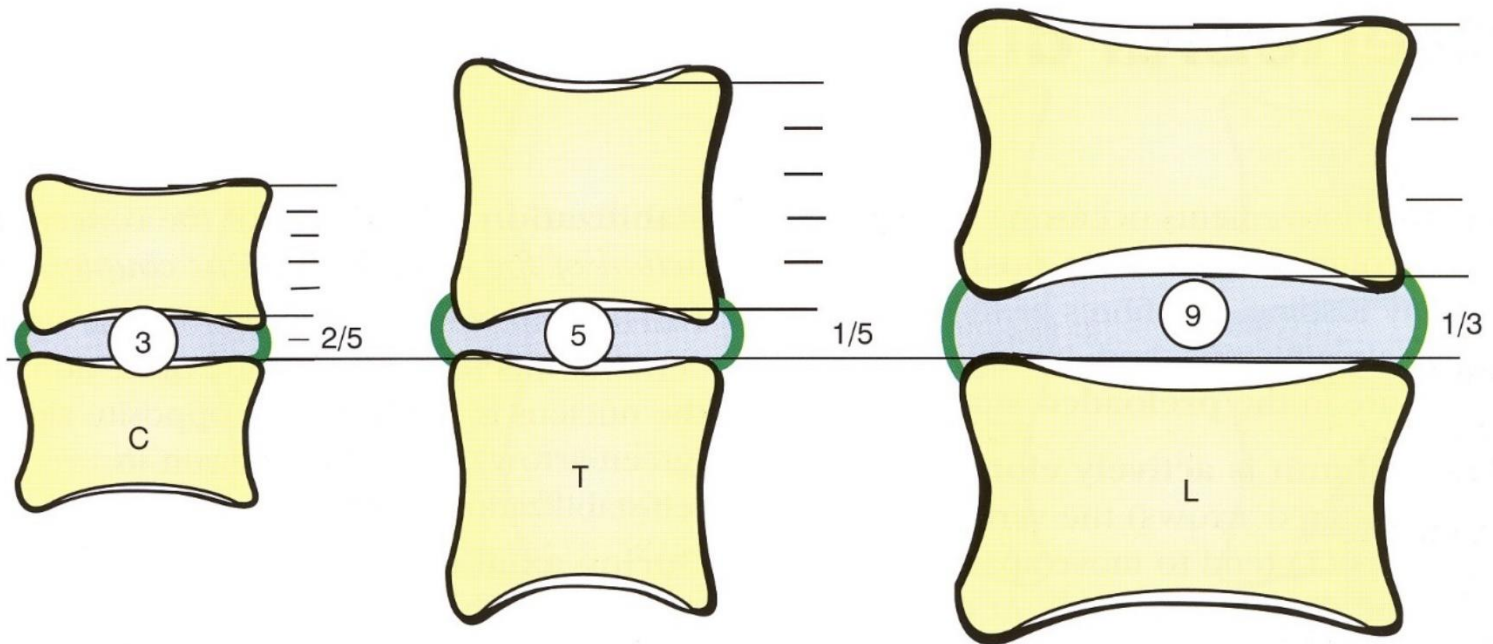
L5-S1
(trunk FL)

- 870 N
- 58 kg.cm⁻²

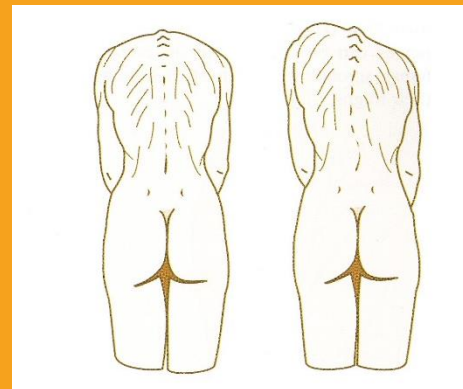
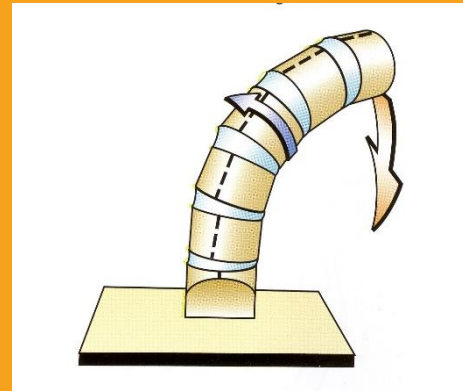
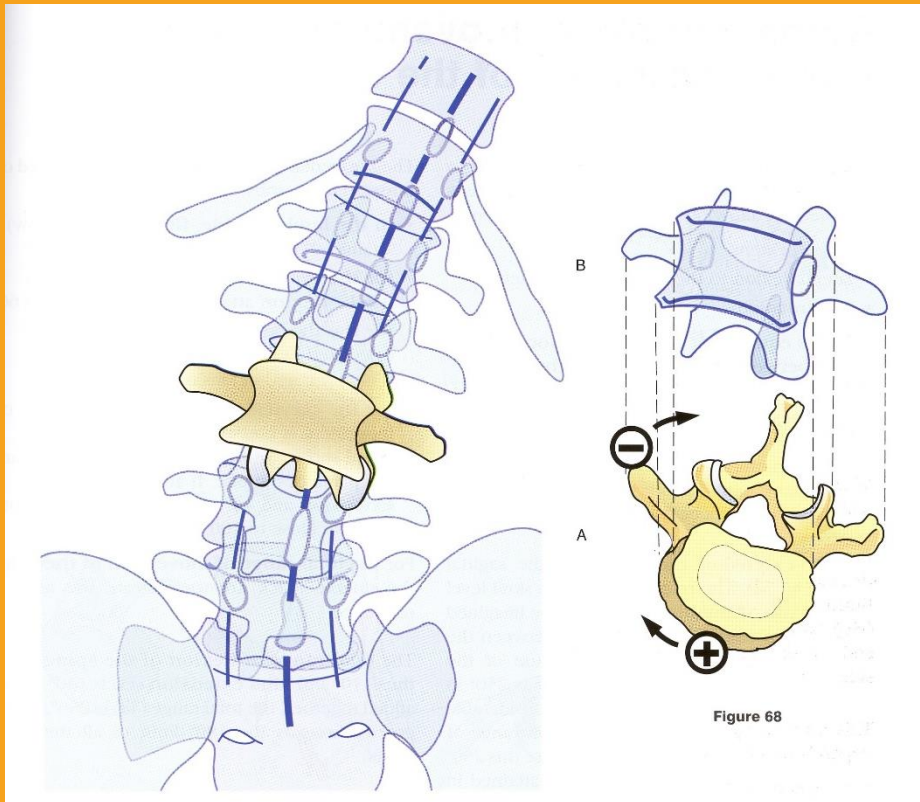
L5-S1
(trunk EXT
from FL)

- 1740 N
- 107 kg.cm⁻²

ROM



ROTACE - LATEROFLEXE



R O M

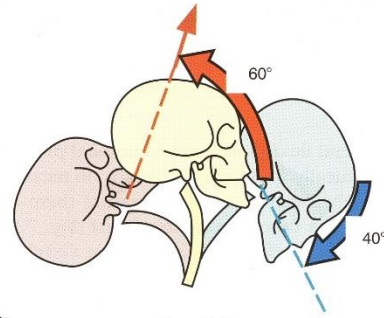


Figure 75

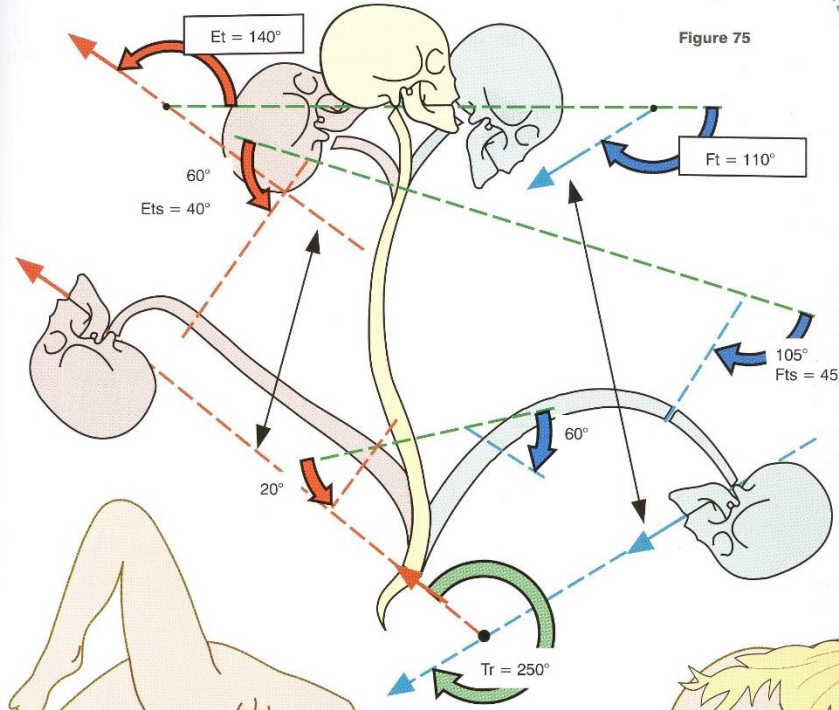


Figure 72

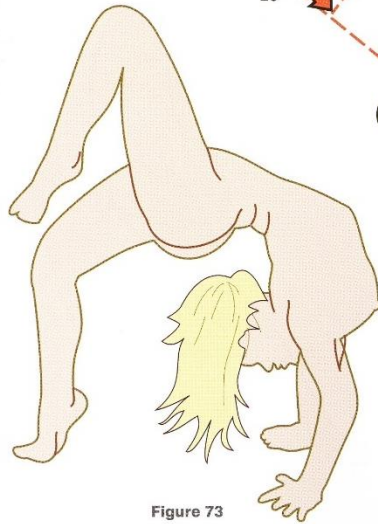


Figure 73

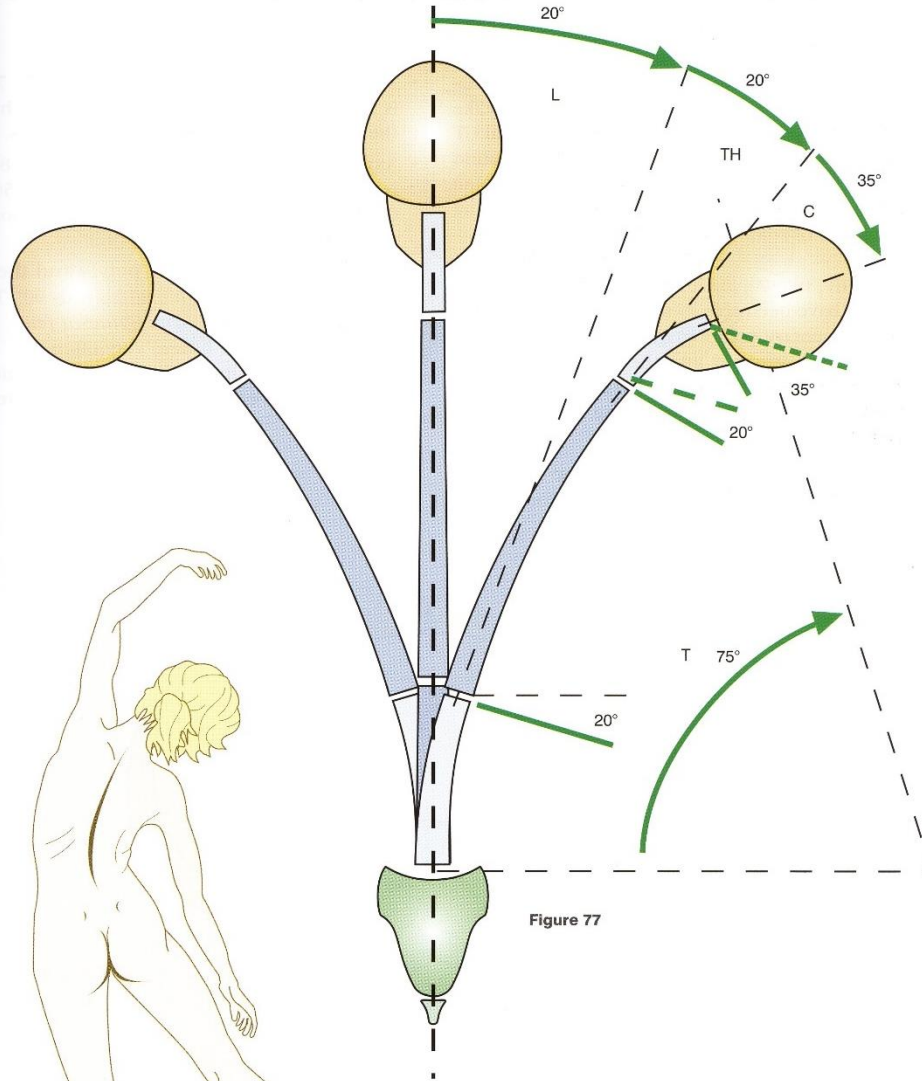


Figure 74

R O M



Figure 76



R O M

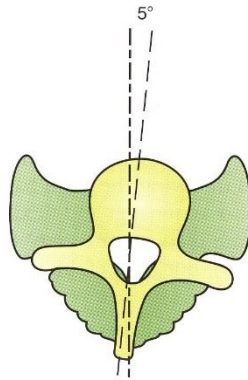


Figure 78

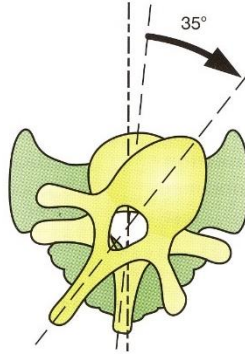


Figure 79

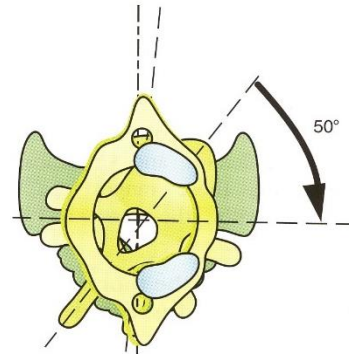
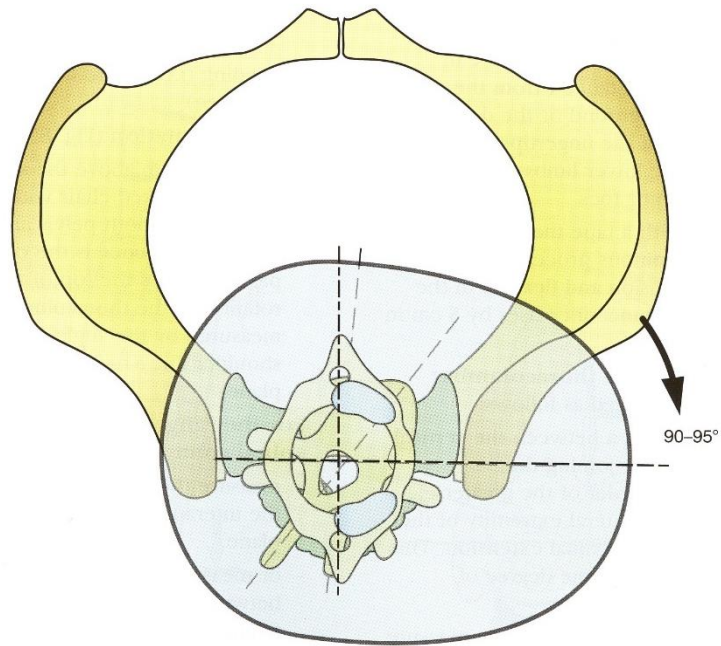


Figure 80



C PÁTEŘ

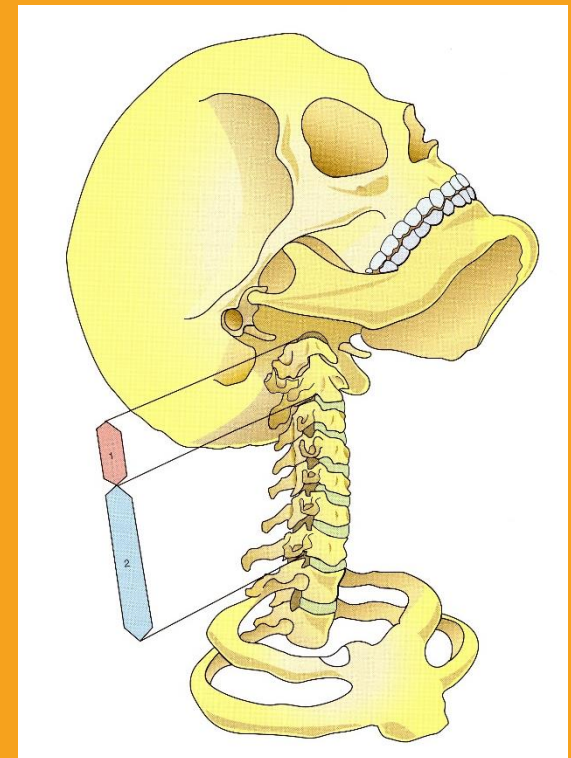
Největší mobilita z celé páteře vs.
největší zranitelnost

Estetika

Primární funkce „radaru“
nezávislého na zbytku těla (ROM)

Horní krční sektor – 3 st. volnosti

Dolní krční sektor - 2 st. volnosti



ROM

F-E AO 15°

F-E C2-3 11°

F-E C3-T1 5x 17°

F-E C2-T1 100-110°

F-E C0-T1 130°

LF AO 3°

LF C1-2 0°

LF C2-3 5°

LF C0-T1 45°

R AO 12°

R C1-2 41°

R C2-3 2°

R C3-5 2x 7°

R C6-T1 2x 2°

R C0-T1 80-90°

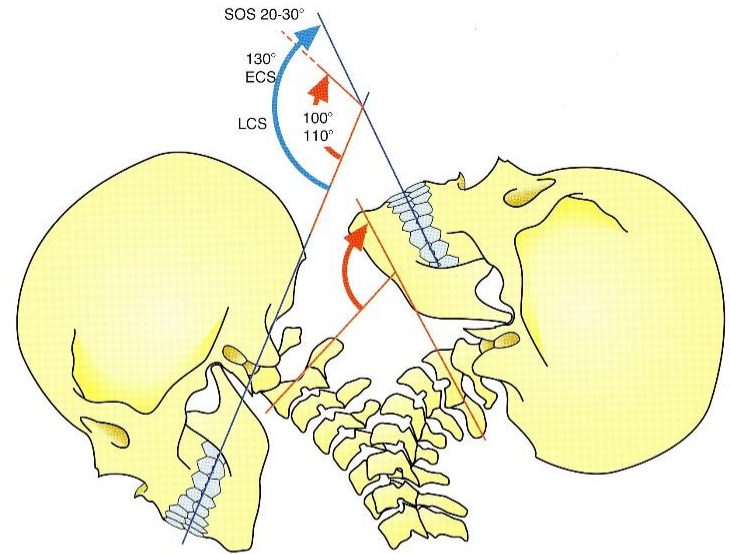
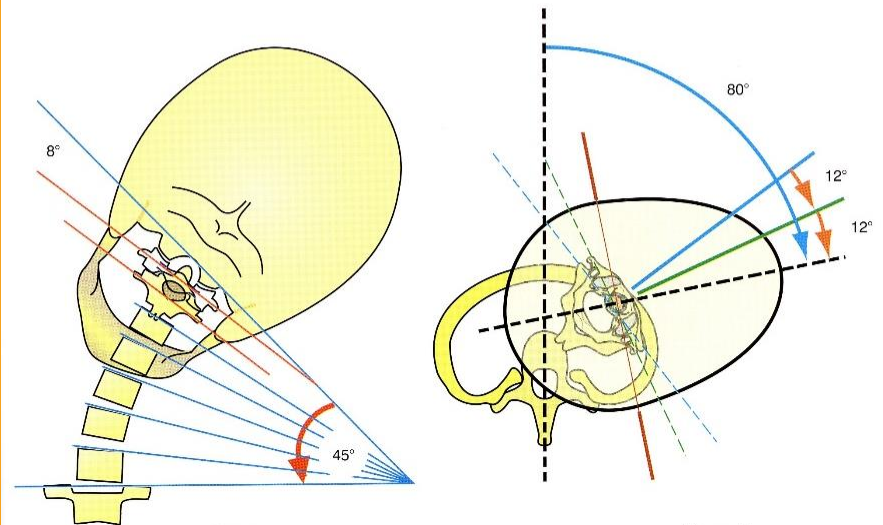


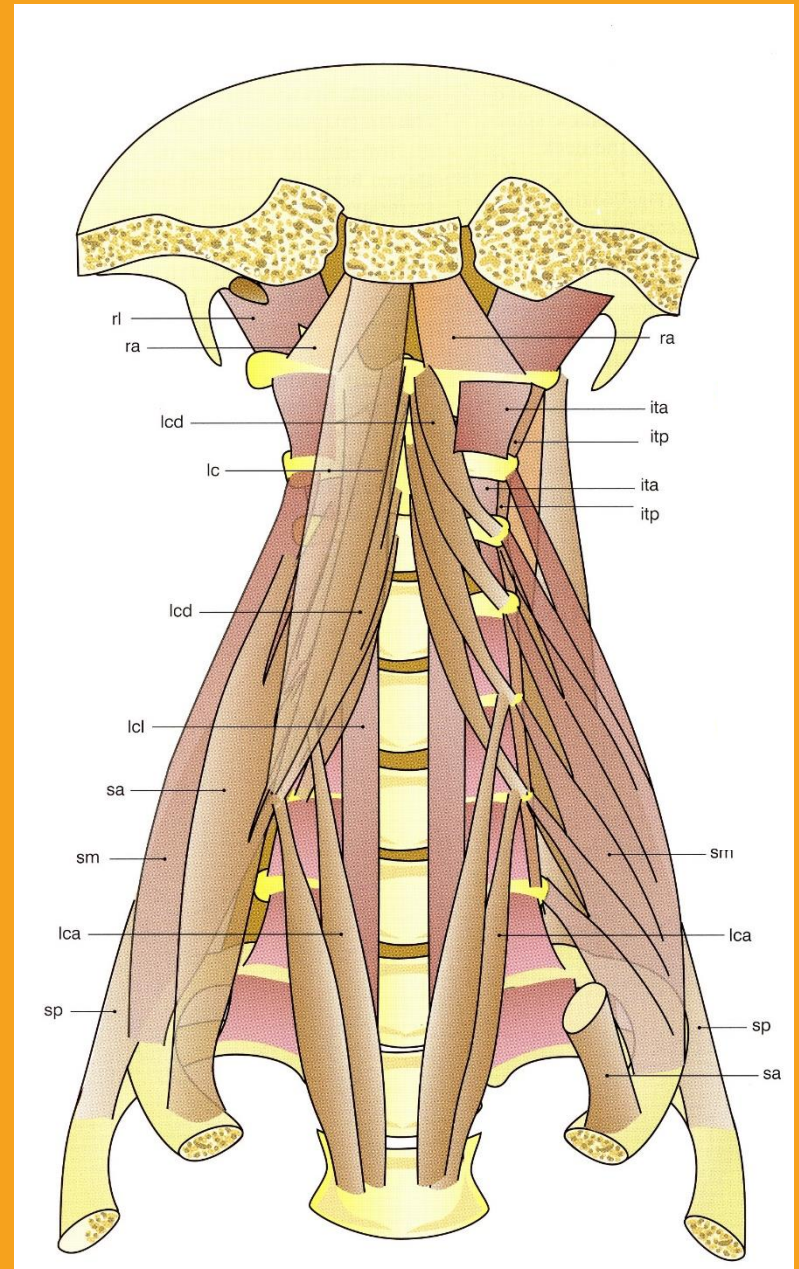
Figure 65



ŘETĚZENÍ PŘEDNÍ SVALY KRKU

M. longus colli et capitis – M.
scalenus ant. et med.

M. rectus capitis ant. et lat. –
intertransversární sv. systém. -
M. scalenus ant. et med.



ZADNÍ SVALY KRKU

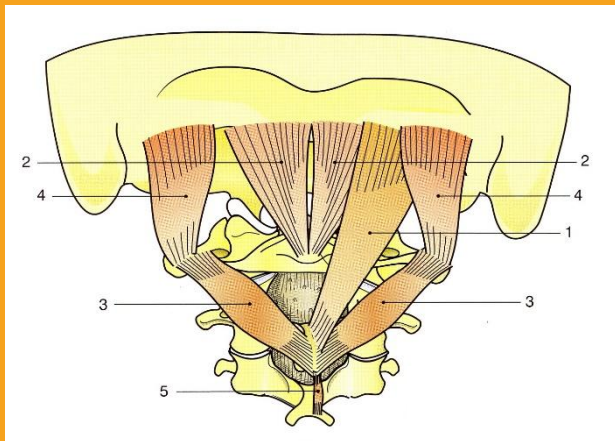
Hluboká vrstva - subokcipitální

M. rectus capitis posterior minor

M. rectus capitis posterior major

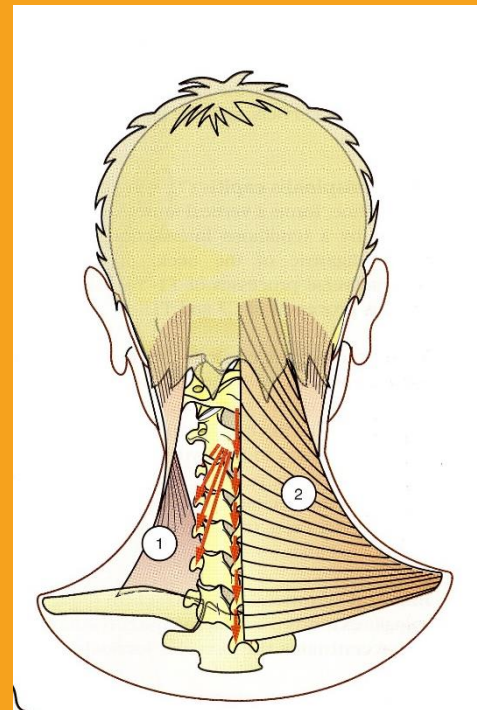
M. obliquus capitis posterior superior

M. obliquus capitis posterior inferior



Hluboká vrstva – dolní C sektor

M. transversospinalis (synergista m. STCM a m. trapezius ipsilaterálně)



ZADNÍ SVALY KRKU

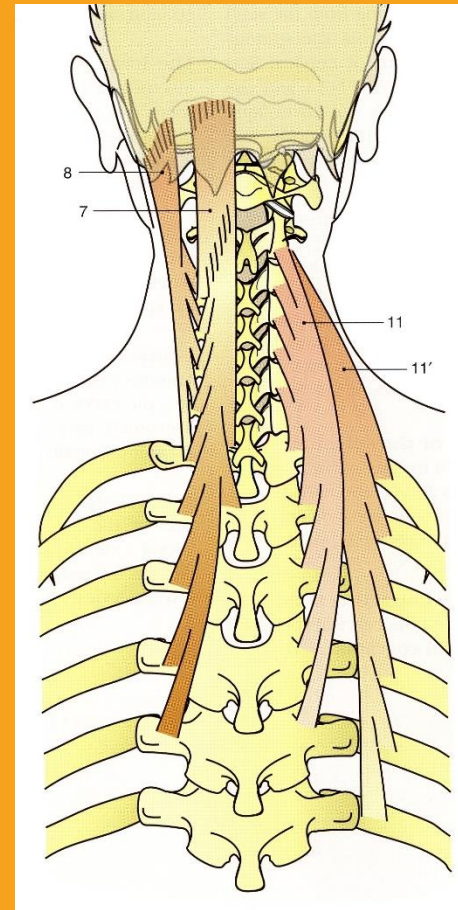
Střední vrstva I.

M. iliocostalis (II')

M. longissimus capitis (8)

M. longissimus cervicis (II)

M. semispinalis (7)



ZADNÍ SVALY KRKU

Střední vrstva II.

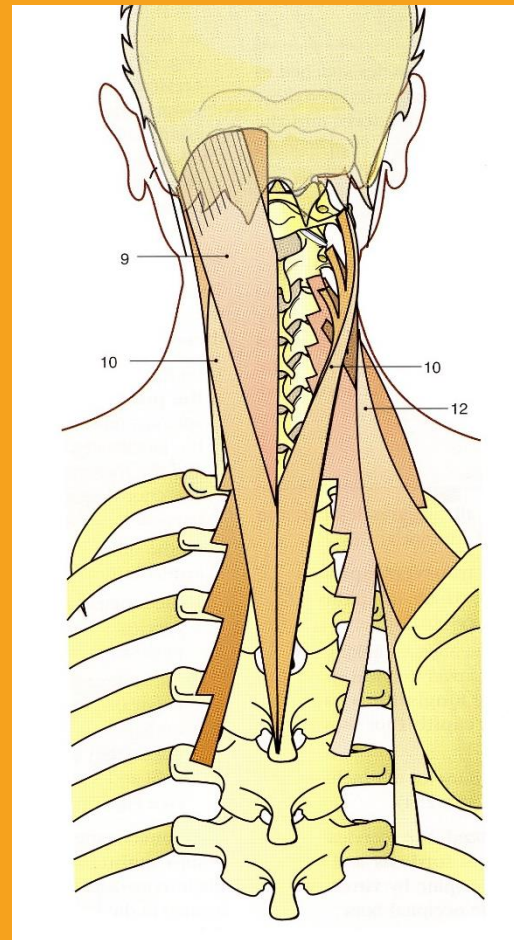
M. splenius capitis (9)

M. splenius cervicis (10)

M. levator scapulae (12)

Povrchová vrstva

M. trapezius



ARTERIA VERTEBRALIS

De Klein test

10 s Rotace → N → Záklon → N →
Rotace + záklon → N → Rotace →

Rotace + záklon → N

